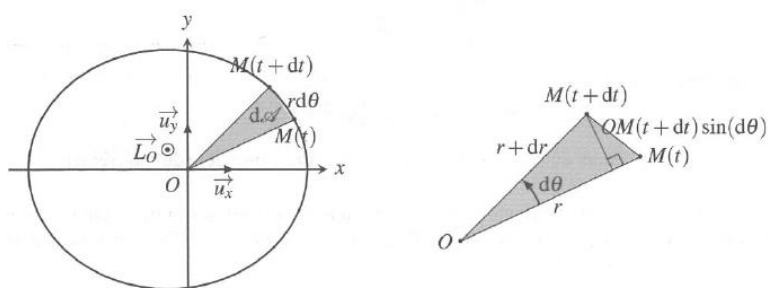
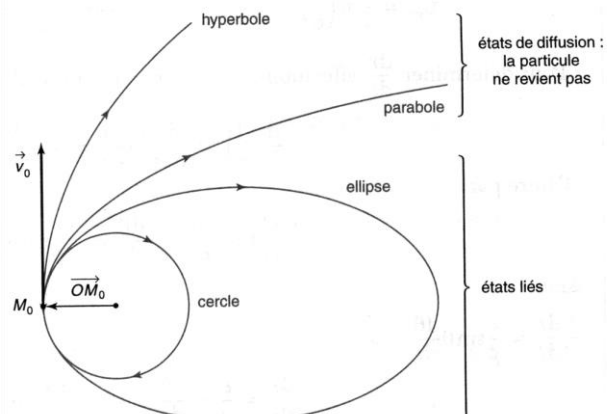
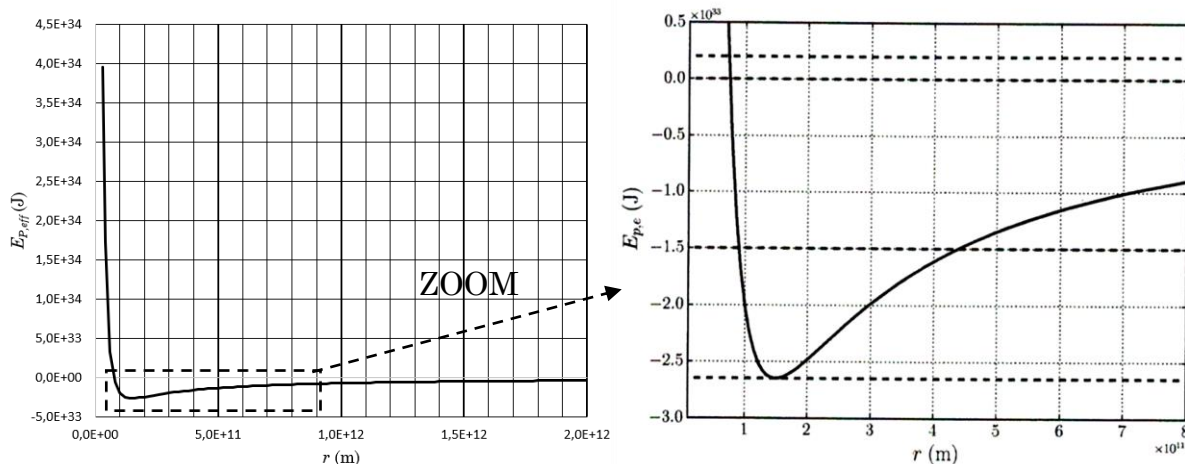


CHAPITRE MI6 – DOCUMENTS

Mouvements dans un champ de gravitation newtonien



FIGURE 1 : Planètes du système solaire


 FIGURE 2 : Aire $d\mathcal{A}$ balayée par le vecteur \overrightarrow{OM} pendant dt

 FIGURE 5 : Trajectoires d'un point M mis en mouvement à partir de la même position initiale M_0 mais avec des vitesses initiales v_0 croissantes, i.e. pour des valeurs croissantes de l'énergie mécanique E_m .

 FIGURE 3 : Énergie potentielle effective de la Terre (à droite : zoom rectangulaire)
 $(m = 6,0 \cdot 10^{24} \text{ kg et } C = 4,46 \cdot 10^{15} \text{ m}^2 \cdot \text{s}^{-1})$

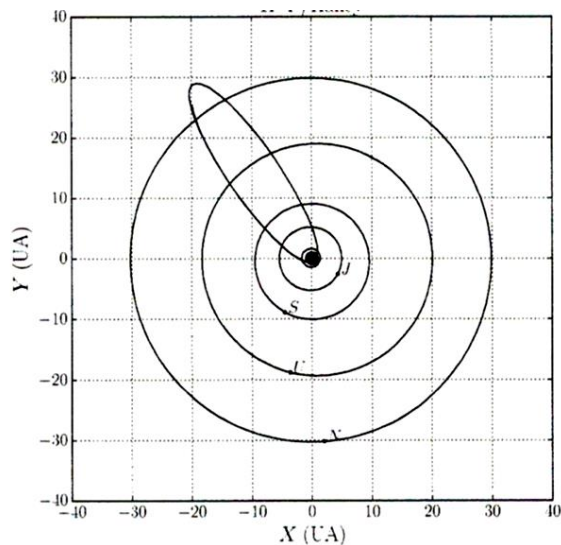
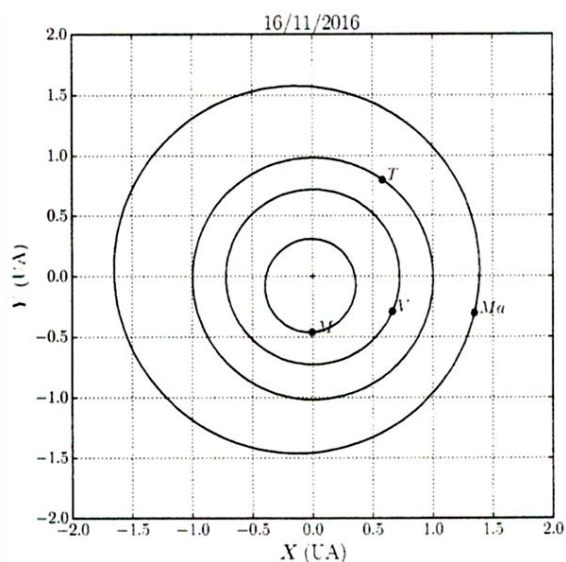


FIGURE 4 : Allure des trajectoires des planètes du système solaire et de la comète de Halley ($1 \text{ UA} = 1 \text{ ua} \approx 1,5 \cdot 10^{11} \text{ m}$)

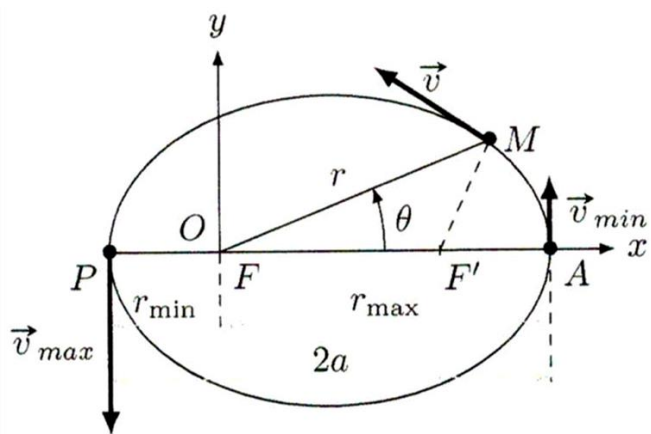


FIGURE 6 : Trajectoire elliptique

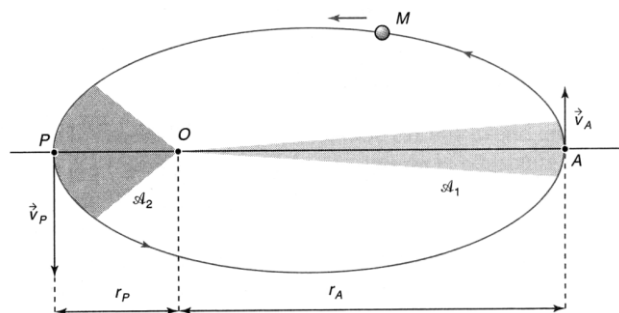


FIGURE 7 : Péricentre (P) et apocentre (A)

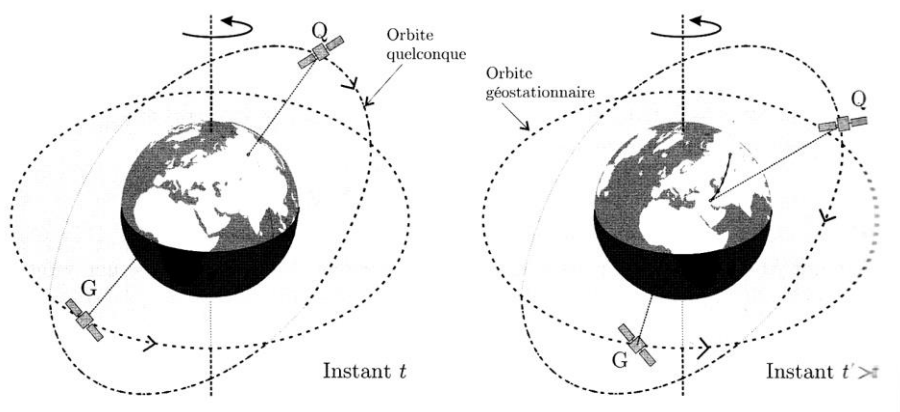


FIGURE 8 : Trajectoires d'un satellite G en orbite géostationnaire et d'un satellite Q en orbite quelconque